

京都大学工学部 (正量) 高橋武一郎 (正量) 内藤正明
(学生) 池田有光

6.5. 最適化についての概説

Iでのモデル表示、IIでの実験的検討により、プロセス方程式が決定されたので、これらに基づいて、その最適性の考察をみたい。そのため表-1に示した混合度と槽容積に関する6つの設計、操作変数の他に、更に曝気槽への流入下水と返送汚泥の配合 γ_L 、 γ_S をも考慮に入れたものを二つで一般化プロセスと名付け、これについて検討する。これは返送汚泥の配合はこれまでの変法にも全くからむるもので利害があるかどうか不明であるが、流入下水の配合と同時にこれを用いた数値解と与えても解析上に差異はない。以上へ一般化プロセスに付す種々の条件で各变数をどのように決定すればよいかを述べる。ところで一般化プロセスは再曝気槽を含み、これに関する実験的裏付け特に Active site の候補に対するデータはまだ得られていないので、二つで得られた曝気槽と沈殿池の組合せについて最適性を検討し、一方一般化プロセスについては、未知の部分に推定値と仮定式を用いて解析した。従って結果の数値自体は余り実用的な価値を主張しないが、その解釈過程が一つの定性的な指針となることを期待したい。

6.6. 曝気槽、最終沈殿池からなるシステムの最適化

基礎方程式 ……図-7の模式図に示した様に状態変数 S_i , L_i を決定する基礎式と境界条件の番号は前の発表 I, II 中の式番号に対応する。

束縛条件 ……放流水中の溶解性 BOD と非溶解性物質 α BOD の和が放流基準にある。即ち $\rho S_{U1} + L_1 = C_{LIM}$ (放流基準)

目的関数 ……曝気槽と沈殿池の総容積 V_T が最小になる。即ち $V_T = V_A + V_S \rightarrow \min$.

操作変数 …… (V_S/V_A) , R が行泥返送率 R (返送量/流入水量)

解析結果 …… (V_S/V_A) と R に対する全容積 V_T

の変化の様子を図-8に示す。二つで諸操作変数

は II のデータを用いた。これによる曝気時間 1.40 hr. 沈殿時間 2.33 hr. で通常の操作より相当短かい。これは排出流れの候選によると γ_S が大きいと思われる。又沈殿池の割合が大きく返送率 62% 以下である。このことは R を大きくして初期除去と反応速度の増大を行はかり、その代り最終沈殿池に比較的長時間かけ、混入した多量の返送汚泥を分離し、これによって放流水に含まれる溶解総合 BOD を下げような操作が望ましい。

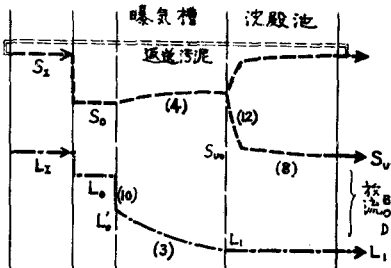
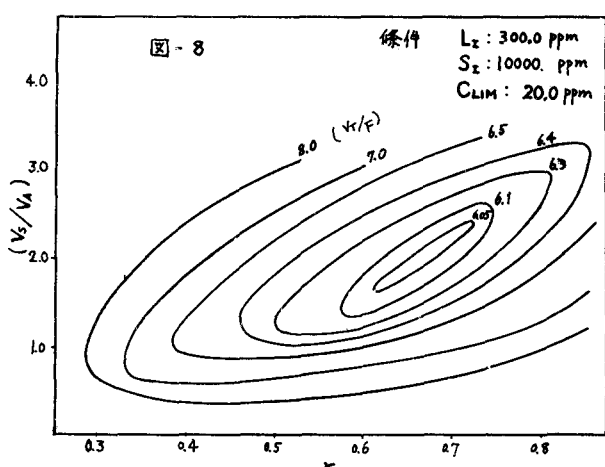


図-7



二とを示唆してゐる。

4.7 一般化プロセスへの拡張

次に再曝気槽をも含めた一般的プロセスについて最適性を検討する。但し二つに限ある実験的裏付けを欠く為、定量的な根柢を期待し難いが、最適性の存在、それに及ぼすモルハーマンの影響、等の検討、更にプロセス方程式が非線型をもつて含有比較的複雑なシステムであるから、最適化についての手法にも考慮を払つた。二つでは先づ直接計算により最適近傍の大体の様子をしらべ、各変数についてそれが単峰なることを知った後、Hibonacci 数を利用して勾配法を行い、最適値探索を行つた。

プロセス方程式 ……既に示したが、二つで数值計算のために一般的に表示しておく。

$$\text{Process I について} \quad \frac{dy_i^I}{dx} = f_i^I(y_1^I, y_2^I, y_3^I, u, v_i) \quad (14)$$

$$\text{B.C.} \quad y_1^I(0) = y_{10}, \quad y_2^I(0) = y_{20} \quad (\text{Given}) \quad y_3^I(0) = y_3^{\text{II}}(t) \quad (15)$$

Process II について

$$\frac{dy_i^{\text{II}}}{dx} = f_i^{\text{II}}(y_1^{\text{II}}, y_2^{\text{II}}, y_3^{\text{II}}, u, v_i) \quad (16)$$

$$\text{B.C.} \quad y_1^{\text{II}}(0) = y_1^I(t), \quad y_2^{\text{II}}(0) = g(y_1^I(t)) \quad (17)$$

$$y_3^{\text{II}}(0) = y_3^I(t) \quad (18)$$

Process III について

$$\frac{dy_3^{\text{III}}}{dx} = f_3^{\text{III}}(y_3^{\text{III}}, u, v_i) \quad (19)$$

$$\text{B.C.} \quad y_3^{\text{III}}(0) = y_3^{\text{II}}(t) \quad (20)$$

束縛条件

$$y_1^I(t) + p y_2^{\text{II}}(t) = C_{\text{LIM}} \quad (21)$$

P.I.

$$\sum_i v_i \rightarrow \text{minimum} \quad (22)$$

操作変数 v_i and u

以上は一般化プロセスを可成り簡単化したものだが、それでも決定を要する変数は各槽容積比 r と返送率 α と有り、これを (20) の下で同時に求めることは相当の計算となる。京大 Digital Computer による計算結果の一例を図-9、図-10 に示す。二つで初期の目的で有るプロセス自体の検討はまだ確かな問題を含むため、成されていないが、Conventional method について得られた結果が得られた。

4.8 おわりに

以上は活性汚泥法の最適化についてのつかつた検討をおこなつたものであるが、まだデーターに裏付けられぬいくつかの仮定を含み、更に実験データーも、人工下水と長期間恒温培養の汚泥を用い、その実験条件、考え方等少ないので、実際のシステムに附隨する不確定な多くの因子を除いており、これから直ちに实用的有用値を主張し難い事は否めぬが、二つまで殆んどみられたプロセス全体に関する最適性の検討（定式化せられに必要なデーター、新たに定義の定義、最適性の考察等）に一つの指針を与えるものと思う。

